

Г-657

ОБЪЕДИНЕННЫЙ
ИНСТИТУТ
ЯДЕРНЫХ
ИССЛЕДОВАНИЙ

ДУБНА



3979/2-74

2/1-24
8-8015

И.Н.Гончаров, Г.Л.Дорофеев, А.Никитиу,
Л.В.Петрова, Д.Фричевски, И.С.Хухарева

ИССЛЕДОВАНИЕ ρ_f (H,T)
СВЕРХПРОВОДНИКОВ ВТОРОГО РОДА

1974

ЛАБОРАТОРИЯ ВЫСОКИХ ЭНЕРГИЙ

8-8015

И.Н.Гончаров, Г.Л.Дорофеев, А.Никитиу,
Л.В.Петрова, Д.Фричевски, И.С.Хухарева

ИССЛЕДОВАНИЕ ρ_f (H,T)
СВЕРХПРОВОДНИКОВ ВТОРОГО РОДА

Направлено в ЖЭТФ

ВВЕДЕНИЕ

По характеру зависимости дифференциального сопротивления /ДС/ от внешнего магнитного поля при постоянной температуре весь интервал от 0 до $H_{c2}(t)$ условно можно разделить на три части. В малых полях наблюдается линейная зависимость, хорошо описываемая теорией, рассматривающей движение под действием транспортного тока не взаимодействующих друг с другом вихрей. Для этой области полей в теоретических работах /1-5/ при упрощающем предположении отсутствия сил сцепления было получено в явном виде выражение

эффективной проводимости $\sigma_{\text{эфф}} = \rho_f^{-1} = \left(\frac{dE}{dj}\right)^{-1}$ через

температуру и среднее магнитное поле в образце.

В другом предельном случае $H \rightarrow H_{c2}(t)$ также имеет место линейная зависимость ДС от H . Микроскопическая теория, описывающая поведение эффективной проводимости в этой области, построена в предположении бесщелевой сверхпроводимости /6/ и поэтому применима, строго говоря, только в очень узкой окрестности $H_{c2}(t)$. При эксперименте линейный участок занимает достаточно заметный интервал полей, однако его наклон меняется с температурой в хорошем согласии с теоретически пред-

сказанной зависимостью $r'(t) = \left[\frac{H}{\rho_n} \frac{\partial \rho_f}{\partial H} \right]_{H = H_{c2}(t)}$ /7-11/.

Наименее изученной, как экспериментально, так и теоретически, является область средних полей. В ряде работ /8-11/ ρ_f / ρ_n измеряли во всем диапазоне магнитных

полей, но при этом подробно исследовали закономерности поведения только в одном из предельных случаев: $H \rightarrow 0$ или $H \rightarrow H_{c2}(t)$. В непосредственной близости к T_c для

полей, удовлетворяющих условию $1 \gg (1 - \frac{H}{H_{c2}(t)}) \gg (1-t)$, была получена зависимость^{/4,12/}

$$\sigma_{\text{эфф}} \sim \left(1 - \frac{H}{H_{c2}(t)}\right)^{3/2}.$$

Однако условие применимости этой формулы даже для $t = 0,995$ не позволяет перекрыть всего интервала сред-

них полей, т.к. ограничение $(1 - \frac{H}{H_{c2}(t)}) \ll 1$ в лучшем слу-

чае соответствует $\frac{H}{H_{c2}(t)} \gtrsim 0,7$. В работе^{/13/} для темпе-

ратур $\approx T_c$ вычислили $\rho_f(H)$ /для всех значений H от $H_{c1}(t)$ до $H_{c2}(t)$ / из нестационарных уравнений Гинзбурга-Ландау, пренебрегая так называемыми аномальными членами. В случае сверхпроводников без парамагнитных примесей, но с $\ell \ll \xi$ значения ρ_f для малых полей совпадают с вычисленными в^{/2/}, а при $H \approx H_{c2}(t)$ получается результат Маки^{/6/}. Учет аномальных членов, по мнению авторов, должен приводить к уменьшению ρ_f при заданном поле.

До сих пор речь шла об электромагнитном механизме диссипации, вызванной движением флюксоидов под действием транспортного тока. Клемом был предложен дополнительный, тепловой механизм диссипации, объясняющий появление у сверхпроводящих сплавов с малой длиной пробега минимума на кривой $\rho_f(T)$ ^{/14, 15/}; при этом рассматривался одиночный, изолированный вихрь. Последующее усовершенствование модели состояло в учете взаимодействия вихрей через электрические поля, связанные с их движением^{/16/}, что дало качественное объяснение экспериментально полученной зависимости температуры минимума от H ^{/17, 18/}.

В настоящей работе проведено измерение ДС на сплаве Nb с большим содержанием Zr при температурах

от $1,0 \text{ К}$ до T_c во всем интервале магнитных полей от нуля до $H_{c2}(t)$. При фиксированных значениях температуры снималась зависимость ρ_f / ρ_n от поля, либо при фиксированных значениях магнитного поля делались проходы по температуре. Полученные результаты использовались для определения температурной зависимости коэффициента вязкости движущихся вихрей /КВДВ/ и сравнения ее с теорией. Проведено также сравнение с теорией зависимости ρ_f / ρ_n от H для разных температур. Распространяя идею теплового механизма диссипации на совокупность движущихся вихрей и пренебрегая их электромагнитным взаимодействием, мы рассчитали зависимость глубины минимума на кривой $\rho_f(t)$ от магнитного поля и провели сравнение с экспериментальными результатами.

МЕТОДИКА ЭКСПЕРИМЕНТА

В качестве образцов использовались полоски фольги размером $0,01 \times 0,16 \times 5 \text{ см}^3$ из сплава $Nb - 80\% Zr$, подвергнутого после механической обработки рекристаллизационному отжигу при 1000°С с последующей быстрой закалкой^{/19/}. Для измерения вольт-амперных характеристик /ВАХ/ образец крепился в держателе с прижимными потенциальными контактами, помещенном в магнитное поле, перпендикулярное плоскости образца и транспортному току. ВАХ записывали на двухкоординатном самописце, используя фотоэлектронный усилитель типа Ф-118. ДС определяли графически по наклону линейного участка ВАХ. Однако в некоторых случаях наличие линейного участка не исключает интегрального нагрева образца за счет выделяющейся в нем мощности и влияния этого нагрева на величину ДС^{/20/}. Поэтому в соответствующие значения ДС были внесены поправки, зависящие

главным образом от I_c , $\frac{\partial I_c}{\partial T}$ и коэффициентов теплопроводности и теплопередачи. При вычислении поправок в H_{c2} использовалось значение коэффициента теплосо-

противления $R_K^{II} = \frac{25}{T^3} \frac{(\text{°K})^4 \text{ см}^2}{\kappa}$, что близко к максимально

возможному для Nb - 80% Zr ^{/21/}. В He I использовался линейный по температуре коэффициент теплосопротивления, принимающий значения $R_K^I = 5 \frac{\text{К см}^2}{\text{В}}$ при $T = 4,2\text{К}$ и $R_K^I = 20 \frac{\text{К см}^2}{\text{В}}$ при $T = 2,2\text{К}$ ^{/20/}. В области $T > 4,2\text{К}$, где измерения производились в парах, использовалось значение $R_K^{\text{пар}} = 220 \frac{\text{К см}^2}{\text{В}}$, вычисленное из сопоставления

ВАХ образца для $T = 4,2\text{К}$, снятых в жидкости и паре. Ниже приведены относительные значения тепловых поправок для трех температур в различных магнитных полях /в %/:

T/H	24 кЭ	18 кЭ	14 кЭ	8,3 кЭ
1К	3,5%	5,5	7,0	9,5
2,2К	3,0	4,0	4,5	6,0
4,3К	5,0	-	20,0	35,0

РЕЗУЛЬТАТЫ И ИХ ОБСУЖДЕНИЕ

1. Зависимость дифференциального сопротивления от поля

На рис. 1 представлены результаты измерения ρ_i / ρ_n от H при разных фиксированных значениях температуры. Можно отметить ряд характерных особенностей, проявившихся в этих измерениях. Во-первых, в области низких полей /рис. 1б/ для всех температур хорошо выполняется линейный закон зависимости $\rho_i(H)$. Во-вторых, в интервале полей от нуля до 60 кЭ для низких температур наблюдается характерный "горб", ранее отмечавшийся Кимом ^{/8/} у сплавов с высокими k. В-третьих, вблизи

$H_{c2}(t)$ наблюдается тенденция к минимуму ρ_f/ρ_n /кривые 3, 4, 6 на рис. 1а/, соответствующему пик-эффекту на кривых $j_c(H)$. Просветы на кривых означают места возможного наблюдения подобных минимумов.

Наличие линейной зависимости ρ_f/ρ_n от H в малых полях позволяет на основании этих измерений определять КВДВ(η) и его зависимость от температуры. Действительно, КВДВ и ДС связаны простым соотношением^{18/}:

$$\eta(t) = \frac{\Phi_0 \cdot H}{c^2 \rho_f(t)}. \text{ Если } \frac{\rho_f(t)}{\rho_n} = \frac{b_0(t) H}{H_{c2}(0)}, \text{ то}$$

$$\eta(t) = \frac{1}{b_0(t)} \cdot \frac{\Phi_0 H_{c2}(0)}{c^2 \rho_n}$$

b_0 для фиксированной температуры определяется графически по наклону начального линейного участка в экспериментальной зависимости ρ_f/ρ_n от H ; $b_0(t)$ полностью описывает температурное изменение КВДВ. В литературе часто используется другая форма записи, а именно:

$$\frac{\rho_f(t)}{\rho_n} = \frac{b(t) H}{H_{c2}(t)}. \text{ Тогда } \eta(t) \sim \frac{H_{c2}(t)}{b(t)}. \text{ В теоретических}$$

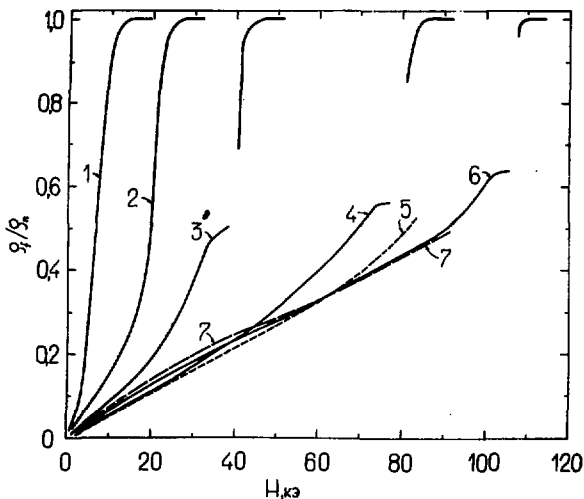
работах^{11-15/}, рассматривающих движение одиночных вихрей под действием транспортного тока, полученная зависимость $\sigma_{\text{эфф}}(H, T)$ представляется в общем виде:

$$\frac{\sigma_{\text{эфф}}}{\sigma_n} = \beta(t) \frac{H_{c2}(t)}{H}. \beta(t) \text{ определено в двух пре-}$$

дельных случаях: $T \rightarrow T_c$ и $T=0$. Нетрудно видеть, что

$$\beta(t) = \frac{1}{b(t)} = \frac{1}{b_0(t) f(t)} = \frac{\eta(t)}{f(t)}, \text{ где } f(t) = \frac{H_{c2}(t)}{H_{c2}(0)}.$$

Кривая 1 рис. 2а рассчитана по формуле^{13/}; $\beta(t) = 1,1(1-t)^{-1/2}$, 2 - соответствует $\beta(t) = 1,47^{1/2}$, точка на оси $t=0$ есть $\beta(0) = 0,9^{1/5}$. На рис. 2а изображены также экспериментальные значения $1/b(t)$ разных авторов. Отметим, что часть точек получена нами из кривых $\rho_f(H)/\rho_n$, приведенных в публикациях, чем объясняется в некоторой степени их разброс. Однако различие



в температурной зависимости $1/b(t)$ разных сплавов выходит за пределы этого разброса и, возможно, объясняется разницей в температурной зависимости $H_{c2}(t)$, которая наряду с $\eta(t)$ входит в определение $b(t)$. В области $t > 0,6$ можно видеть некоторую корреляцию между положением кривой $1/b(t)$ и величиной параметра $\kappa_1(1)$, значения которого для данных образцов приведены в таблице:

Образец	Nb ₂₀ Zr ₈₀	Pb ₇₆ In ₂₄	Nb ₈₀ Mo ₂₀	V-B	V-A
$\kappa_1(1)$	64	4,8	4,1	2,3	1,9
Источник	наст. раб.	9	11	10	10

Как видно из рисунка, экспериментальная зависимость $1/b(t)$ для Nb-80%Zr достаточно хорошо соответствует теории^{3,5/} при $t \rightarrow 0$ и $t \lesssim 0,95$. В непосредственной близости к T_c обнаружен резкий спад на кривой

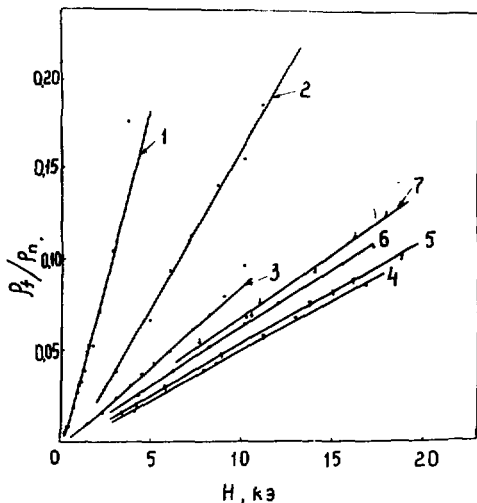
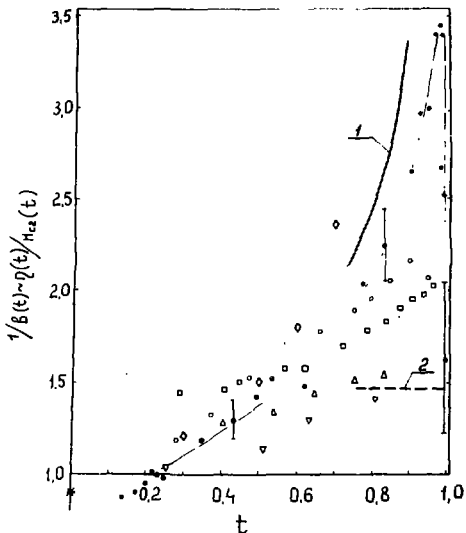


Рис. 1. Экспериментальная зависимость ρ_f/ρ_n от H для фиксированных значений температуры: 1. $T = 7,6$ К, 2. $T = 7,1$ К, 3. $T = 6,5$ К; 4. $T = 4,2$ К; 5. $T = 3,4$ К; 6. $T = 2,0$ К; 7. $T = 1,37$ К; 3'. $T = 6,0$ К.

$1/b(t)^{23/}$, так что при $t \rightarrow 0$ экспериментальные точки приближаются к предельному значению $1/b = 1,47$. Если учесть, что формула, определяющая кривую $1/b$, получена из рассмотрения только аномальных членов в выражении для проводимости, а предельная оценка сделана путем их отбрасывания, то следует предположить, что при приближении к T_c начинает работать механизм, который сильно подавляет вклад аномальных членов /по крайней мере в случае наших образцов/.

На *рис. 2б* для разных образцов приведена зависимость $b_0(t) \sim 1/\eta(t)$. Как упоминалось выше, b_0 для фиксированной температуры определяется экспериментально по наклону начального линейного участка кривой $\rho_f(H)$. Характерной особенностью поведения $b_0(t)$, впервые отмеченной в ^{8/}, является стремление к постоянному зна-



чению в области низких температур. Для $\text{Nb}_{50}\text{Ta}_{50}$, например, соотношение $b_0(t) = \text{const}$ сохраняется вплоть до $t \approx 0,7$. Для всех образцов постоянное значение b_0 близко к единице. Теоретическая оценка дала $b_0(0) = 1,1^{5/1}$. В работе /17/ из высокочастотных измерений ДС на образцах $\text{Pb}_{50}\text{In}_{50}$ и $\text{Pb}_{90}\text{In}_{10}$ получили соответственно значения $b_0 = 0,82 \pm 3\%$ и $b_0 = 0,89 \pm 4\%$.

На рис. 3 представлена для разных температур зависимость ρ_f / ρ_n от приведенного поля во всем интервале от 0 до 1. Кривая 1 воспроизводит результаты расчета ρ_f из нестационарных уравнений Гинзбурга-Ландау путем пренебрежения аномальными членами для температур порядка $T_c^{13/}$. Эта кривая имеет асимптоты: в низких полях $0,68 / b = 1,47 / ^{12/}$, в высоких - $2,5 / ^{6/}$. 2а,б,в рассчитаны соответственно для температур $t = 0,924$; $0,977$; $0,989$ по формуле:

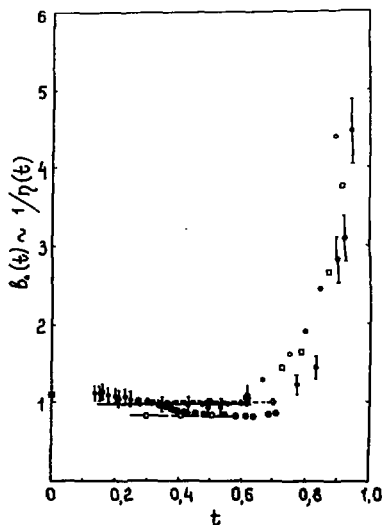


Рис. 2. Зависимость коэффициента вязкого трения движущихся вихрей от температуры: 1 - теоретическая кривая /3/; 2 - теоретическая оценка /2/; * при $t=0$ - теоретическая оценка /5/; \square Nb₂₀Zr₈₀ - данная работа; \diamond Nb₅₀Ta₅₀ - работа /8/; \square Pb₇₆In₂₄ - работа /9/; Δ V - B } работа /10/; \circ Nb₈₀Mo₂₀ - работа /11/; ∇ V - A } \odot Pb₆₀Sn₄₀ - работа /18/.

$$\frac{\sigma_{эфф}}{\sigma_n} - 1 = 0,18 x^{3/2} (1-t)^{-1/2} + 1,25x + 0,27 [x(1-t)]^{1/2}$$

$$\times \ln \frac{5x}{1-t} + a_1 x \left(\frac{x}{1-t}\right)^{1/10} + 0,1 a_2 x \left(\frac{x}{1-t}\right)^{1/5},$$

справедливой для $(1-t) \ll x \ll 1$, где $x = \frac{1 - H/H_{c2}}{1 - 1/2\kappa^2}$,

a_1 и a_2 - порядка единицы. В области малых полей для тех же температур приведены асимптоты, рассчитанные по формуле:

$$\frac{\langle H \rangle}{H_{c2}} \frac{\sigma_{\text{эфф}}}{\sigma_n} = 1,1(1-t)^{-1/2} + 0,81[1 + a_3(1-t)^{-1/10} + a_4(1-t)^{-1/5}],$$

a_3, a_4 - порядка единицы^{4/}. Соответствующие значения b лежат выше кривой 1 рис. 2а /см. /^{23/} /. К сожалению, большой разброс экспериментальных точек в полях, близких к $H_{c2}(t)$ /это частично связано с проявлением пик-эффекта/ не позволяет провести сравнение с теорией в этой области. Однако надо отметить, что для согласования расчетных кривых 2 с соответствующими асимптотами в низких полях, очевидно, необходимо ограничить их снизу еще более высокими значениями $H/H_{c2}^{\text{глаг}}(t)$, чем это сделано на рисунке, где принято

$$b \gg (1 - H/H_{c2}^{\text{глаг}}(t))_{\text{макс}} = 0,3.$$

Экспериментальные точки $t = 0,989$ / $T = 7,77\text{K}$ / и $t = 0,535$ / $T = 4,2\text{K}$ / достаточно хорошо согласуются с предельной теоретической оценкой /кривая 1/. Систематическое отклонение к более высоким значениям ρ_f/ρ_n в случае $t = 0,535$ объясняется проявлением эффекта парамагнитного распаривания^{19, 24/}. Отклонение от кривой 1 к более низким значениям ρ_f/ρ_n экспериментальных точек $t = 0,977$ и $t = 0,924$ происходит в соответствии с предсказанным в^{13/}. Действительно, как видно из рис. 2а, вклад аномальных членов увеличивается с ростом температуры /до максимума/ и соответственно при заданном поле точки $t = 0,977$ отклоняется от кривой 1 сильнее, чем $t = 0,924$.

II. Зависимость дифференциального сопротивления от температуры

Так как энтропия сверхпроводящей и нормальной фаз не равны, переход из одной фазы в другую под действием

магнитного поля ведет к изменению температуры. Поэтому движение нормальных областей в сверхпроводнике /например, магнитного пятна с размерами много больше длины когерентности/ сопровождается возникновением температурных градиентов с необратимыми потерями /25/.

Можно предположить, что в случае грязных сверхпроводников второго рода возникают подобные градиенты на движущихся вихрях, т.к. геометрическая неопределенность источников тепла равна длине свободного пробега нормальных электронов, а в данном случае выполняется условие $l \ll \xi$. Тогда должен иметь место и тепловой механизм диссипации, аналогичный возникающему при движении больших областей нормальной фазы в сверхпроводниках первого рода. Для оценки вклада тепловой диссипации Клем рассмотрел модель, в которой одиночный движущийся вихрь представляется в виде цилиндра /14/. Уравнение теплопроводности для одного цилиндра, записанное с точностью до линейных по скорости членов имеет решение:

$$T(\vec{r}) = T_0 - \frac{T_0 a (S_n - S_s)}{K_n + K_s} \begin{cases} \frac{\vec{r} \cdot \vec{v}}{a}, & |\vec{r}| \leq a \\ \frac{(\vec{r} \cdot \vec{v}) a}{|\vec{r}|^2}, & |\vec{r}| \geq a, \end{cases} \quad /1/$$

где \vec{r} - радиус-вектор из центра цилиндра, a - радиус цилиндра, \vec{v} - его скорость, S_n, S_s - энтропия на единицу объема внутри и вне цилиндра, T_0 - средняя температура образца, K_n, K_s - теплопроводность внутри и вне цилиндра.

Необратимые тепловые потери на единицу длины цилиндра в единицу времени будут:

$$\begin{aligned} W_q &= 2 \int_{-\pi/2}^{+\pi/2} \frac{T_0 a^2 (S_n - S_s)^2 v^2 \cos^2 \phi d\phi}{K_n + K_s} = \quad /2/ \\ &= \frac{\pi a^2 T_0 (S_n - S_s)^2 v^2}{K_n + K_s} = \eta_q v^2 \end{aligned}$$

где η_0 - коэффициент тепловой вязкости на единицу длины цилиндра, ϕ - угол между радиусом-вектором из центра цилиндра и скоростью в плоскости, перпендикулярной цилиндру. Увеличение магнитного поля приводит к росту плотности вихрей и, следовательно, к уменьшению температурных градиентов на вихре из-за уменьшения расстояний между источниками и поглотителями тепла - поверхностями цилиндров. Следовательно, формула /2/ определяет верхнюю границу величины тепловой диссипации в пределе $H \rightarrow 0$. Рассмотрим зависимость теплового коэффициента вязкости от величины магнитного поля. Вначале для простоты положим $K_s = K_n$. Тогда ввиду линейности уравнения теплопроводности по источникам распределение температуры для решетки нормальных цилиндров будет суммой распределений для отдельных цилиндров:

$$T(\vec{r}) = T_0 - \frac{T_0 a (S_n - S_s)}{2K_n} \left\{ \sum_{ij=-\infty}^{+\infty} \frac{\vec{v} \cdot (\vec{r} - \vec{r}_{ij})}{a} \times \right. \\ \left. [1 - \theta(|\vec{r} - \vec{r}_{ij}| - a)] + \frac{\vec{v} \cdot (\vec{r} - \vec{r}_{ij}) a}{|\vec{r} - \vec{r}_{ij}|^2} \theta(|\vec{r} - \vec{r}_{ij}| - a) \right\},$$

$$\theta(x) = \begin{cases} 1, & x \geq 0 \\ 0, & x < 0. \end{cases} \quad /3/$$

Множество векторов $\{\vec{r}_{ij}\}$ описывает положение центров нормальных цилиндров.

Для треугольной решетки:

$$\frac{a^2}{d_\phi^2} = \frac{\sqrt{3}}{4\pi} \cdot \frac{H}{H_{c2}(t)}, \quad a^2 = \frac{\Phi_0}{2\pi H_{c2}(t)} \\ d_\phi^2 = \frac{2\Phi_0}{\sqrt{3}H}, \quad /4/$$

где d_ϕ - расстояние между центрами цилиндров, H - среднее магнитное поле внутри образца, Φ_0 - квант потока.

При выполнении условия $\frac{d^2\phi}{(2a)^2} \gg 1$ можно ограни-

чить сумму ближайшими цилиндрами. Тогда для температуры на поверхности цилиндра получим выражение:

$$T(\phi) = T_0 - \frac{T_0 \alpha v (S_n - S_s)}{2K_n} \left\{ 1 - 4 \frac{a^2}{d^2\phi} \right\} \cos \phi, \quad /5/$$

из которого следует:

$$\eta_q = \frac{\pi a^2 T (S_n - S_s)^2}{2K_n} \left\{ 1 - \frac{\sqrt{3}}{\pi} \frac{H}{H_{c2}(t)} \right\}. \quad /6/$$

Если положить $K_s = 0$, распределение температуры на данном цилиндре не будет зависеть от соседних и тепловой коэффициент вязкости соответственно не должен зависеть от величины магнитного поля, как и в случае одиночного вихря и произвольных значений K_n и K_s . Следовательно, при изменении теплопроводности K_s от нуля до K_n , η_q , будет меняться от $\frac{\pi a^2 T (S_n - S_s)^2}{K_n}$ до

$$\frac{\pi a^2 T (S_n - S_s)^2}{2K_n} \left(1 - \frac{\sqrt{3}}{\pi} \frac{H}{H_{c2}(t)} \right).$$

Для оценки относительного вклада теплового механизма рассмотрим величину $\eta_q/\eta(0)$, где $\eta(0) = \frac{\Phi_0 H}{c^2 \rho_f} = \frac{\Phi_0 H_{c2}(0)}{c^2 \rho_n}$ электромагнитный коэффициент вязкости, определенный из эмпирического соотношения $\eta/\rho_f \cong \rho_n \frac{H}{H_{c2}(0)}$, справедливого в малых полях при низких температурах:

$$\frac{\eta_q(t)}{\eta(0)} = \frac{\pi a^2 T(S_n - S_s)^2 c^2 \rho_n}{(K_n + K_s) \Phi_0 H_{c2}(0)} \quad K_s \rightarrow 0$$

$$\frac{\pi a^2 T(S_n - S_s)^2 c^2 \rho_n}{(K_n + K_s) \Phi_0 H_{c2}(0)} \left[1 - \frac{\sqrt{3}}{\pi} \frac{H}{H_{c2}(t)} \right]$$

$$K_s \rightarrow K_n. \quad /7/$$

Принимая:

$$a = \xi; \quad H_c(t) = H_c(0) (1 - t^2); \quad \xi^2 = \frac{\Phi_0}{2\pi H_{c2}(t)};$$

$$H_{c2}(t) = H_{c2}(0) (1 - t^2); \quad S_n - S_s = - \frac{H_c(t)}{4\pi} \cdot \frac{dH_c(t)}{dt} \cdot \frac{1}{T_c}$$

и для грязных сверхпроводников второго рода:

$$H_c(0) = 242 \gamma^{1/2} T_c; \quad H_{c2}(0) = 306 \cdot 10^4 \rho_n \gamma_n T_c;$$

$\kappa = 7,5 \cdot 10^3 \rho_n \gamma_n^{1/2}$ и выражая ρ_n через теплопроводность нормальных электронов с помощью закона Видемана-Франца, формулу /7/ можно привести к виду, удобному для сравнения с экспериментальными результатами:

$$\frac{\eta_q(t)}{\eta(0)} = \left\{ \begin{array}{l} 2,115 \frac{(1-t^2)t^2 K_{en}}{K_n + K_s} \quad K_s \rightarrow 0 \\ 2,115 \frac{(1-t^2)t^2 K_{en}}{K_n + K_s} \left[1 - 0,55 \frac{H}{H_{c2}(t)} \right] \end{array} \right. \quad /8/$$

$$K_s \rightarrow K_n.$$

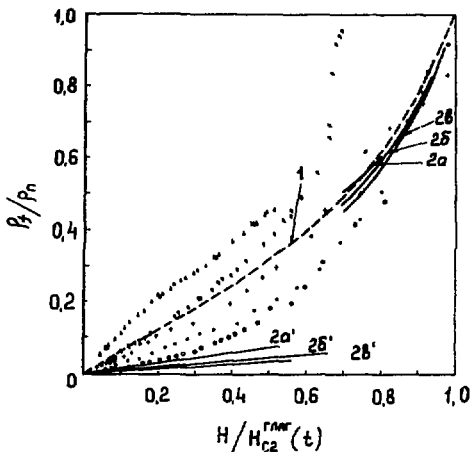


Рис. 3. Зависимость ρ_f / ρ_n от $H / H_{c2}(t)$: 1. - теоретическая кривая $1/3$; 2. - теоретические кривые для t , соответственно равных: а/ 0,924; б/ 0,977; в/ 0,989/4/. Экспериментальные точки для Nb - 80% Zr получены при температурах: + $t = 0,989$; • $t = 0,924$; ◐ $t = 0,175$; ◑ $t = 0,977$; ◒ $t = 0,535$.

В случае нашего сплава измеренная при $T = T_c$ полная теплопроводность* практически совпала с K_{en} , вычисленной по закону Видемана-Франца. На основании этого мы положили и для более низких температур $K_n \cong K_{en}$. Кроме того, для оценки минимального значения $\eta_q(t)$ было принято $K_s = K_n \cong K_{en}$.

* Измерения теплопроводности были проведены Л.П. Межовым-Деглинным с сотрудниками в Институте физики твердого тела АН СССР, за что авторы выражают им глубокую благодарность.

Из формулы /8/ видно, что относительный вклад теплового механизма диссипации, равный нулю при $t = 0$ и $t = 1$, может достигать значительных величин /50%/ при средних температурах.

На рис. 4 представлена зависимость ρ_f / ρ_n от T для разных значений магнитного поля. Пунктирные кривые проведены по экспериментальным точкам после внесения соответствующих поправок, о которых говорилось выше. Сплошные линии - результат расчета по формуле:

$$\rho_f / \rho_n = \frac{H}{H_{c2}(0)} \cdot \frac{1}{1 + \eta_q(t) / \eta(0)},$$

где $\eta_q(t) / \eta(0)$ по формуле /8/ для $K_s \rightarrow K_n$. Как видно из рисунка, экспериментальные минимумы ρ_f находятся при более низких температурах, чем расчетные. Это расхождение, очевидно, объясняется тем, что при расчете не учитывалась температурная зависимость части ρ_f , обусловленной электромагнитной диссипацией.

На рис. 5 проведено сравнение относительной глубины минимума, полученной экспериментально^{9,15,17,18/} с расчетной величиной. По оси абсцисс отложено приведенное поле, по оси ординат - величина $\Delta\eta / \eta(0,1)$, которая определялась из экспериментальной зависимости $\rho_f(t)$ по формуле:

$$\frac{\Delta\eta}{\eta(0,1)} = \frac{\rho_f(0,1)}{\rho_{f \min}} - 1.$$

Расчетное значение $\frac{\Delta\eta}{\eta(0,1)} = \frac{\eta_{q \max} - \eta_q(0,1)}{\eta_q(0,1) + \eta(0)}$, где $\eta_q(t)$

получено по формуле /8/. Видно, что модель теплового механизма хорошо объясняет абсолютное значение глубины минимума $\rho_f(t)$ в области низких полей и сильно расходится с экспериментальной зависимостью $\Delta\eta / \eta(0,1)$ при повышении поля. Это связано, главным образом, с тем, что /как уже указывалось выше/ при более высоких H та часть ρ_f , которая обусловлена электромагнит-

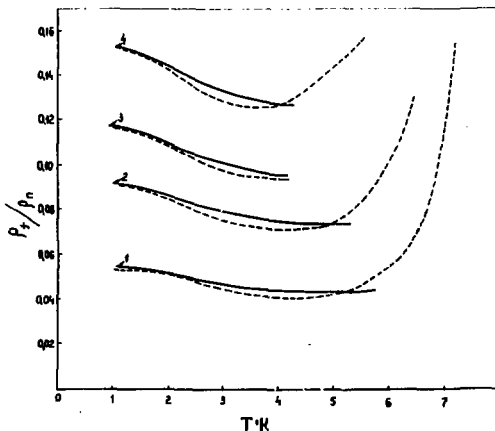


Рис. 4. Зависимость ρ_f/ρ_n от температуры: 1. $H = 8,34$ кЭ; 2. $H = 13,9$ кЭ; 3. $H = 18$ кЭ; 4. $H = 24$ кЭ. Штриховые линии - эксперимент, сплошные - расчет по формуле /8/ при $K_B \rightarrow K_n$.

ным механизмом диссипация, начинает возрастать с температурой, тем самым частично компенсируя уменьшение полного ДС за счет теплового механизма. Начиная с не-

которого поля, минимум на $\rho_f^{\text{эксп.}}(t)|_{H/H_{c2}(0)}$ вообще

не наблюдается. Однако в данном расчете это возрастание не учитывалось, вследствие чего сравнение с ним следует делать лишь в относительных небольших

$H/H_{c2}^{\text{глад.}}(0)$.

ЗАКЛЮЧЕНИЕ

Подробное исследование $\rho_f(H, T)$ в образцах с высокими κ ; проведенное в настоящей работе, позволяет сделать следующие выводы. Во-первых, показано, что в области относительно небольших $H/H_{c2}^{\text{глад.}}(t)$, где взаимодействие между вихрями невелико и возможно

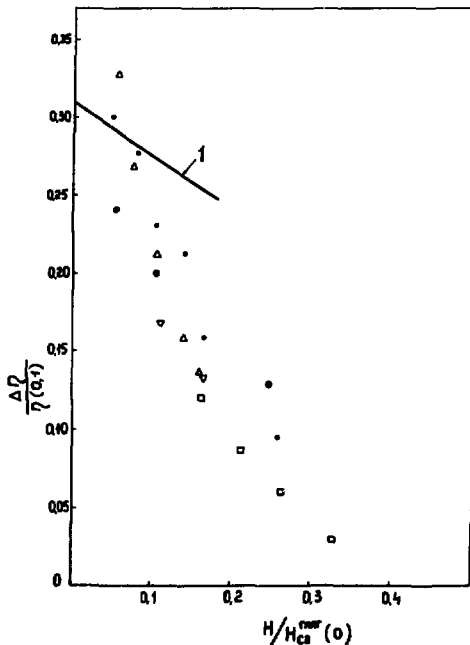


Рис. 5. Зависимость глубины минимума от магнитного поля: ● Nb₂₀Zr₈₀ - данная работа; □ Pb₇₆In₂₄ - работа /9/ ; ● Pb₆₀Tl₄₀ - работы /15,18/ ;
 Δ Pb₅₀In₅₀ }
 ▽ Pb₉₀In₁₀ } - работа /17/.

определение КВДВ, вплоть до температур, отличающихся на несколько процентов от T_c , современная микротеория /3,4/ дает правильную зависимость $\eta(t)$, но численные коэффициенты теории требуют уточнения. При еще более высоких температурах наблюдается существенное

расхождение между экспериментом и теорией и в температурной зависимости. (Последнее обстоятельство, возможно, связано с наличием в наших образцах^{/19/} частиц ω -фазы, отличающейся по составу от матрицы.) При $T \rightarrow 0$ обнаружено хорошее количественное совпадение теоретических и экспериментальных значений КВДВ.

Во-вторых, достоверно установлено, что в области самых низких температур в полях $H/H_{c2}(0) > 0,2-0,3$, $\rho_f(H)$ отклоняется вниз от начальной линейной зависимости

с наклоном $b_0 = \frac{\rho_f / \rho_n}{H/H_{c2}(0)} \approx 1,1$, причем касательная к кривой

$\rho_f [H/H_{c2}(0)]$, проходящая через начало координат, имеет наклон $\approx 0,9$. Такое поведение не имеет пока теоретического объяснения. В-третьих, обнаружено, что вблизи $H_{c2}^{\text{экспер}}(t)$, где на кривых $j_c(H)$ имеется пик, существенно замедляется рост $\rho_f(H)$, которое, по-видимому, даже проходит через узкий минимум. Такое поведение ρ_f выявляет важную особенность динамической связи между движущимися вихрями и пиннинг-центрами.

В-четвертых, для описания наблюдающегося экспериментально минимума на $\rho_f(T)|_{H=\text{const}}$ в рамках феноменологической модели^{/14/}, описывающей дополнительный механизм диссипации из-за появления локального температурного градиента на одиночном движущемся вихре, сделан расчет, в котором учтено влияние соседних вихрей. В предположении, что теплопроводность внутри и вне вихря одинакова, получены явные выражения для $\rho_f(t)$, включающие зависимость от магнитного поля. Сравнение с экспериментом показало, что в относительно небольших $H/H_{c2}^{\text{лаг}}(0)$ имеется неплохое согласие, а при более высоких полях расчетная глубина минимума оказывается больше наблюдаемой. Это указывает на необходимость учета температурной зависимости также и той части ρ_f , которая обусловлена электромагнитным механизмом диссипации.

В заключение авторы выражают искреннюю признательность Б.Т.Гейликману, В.В.Данилову, Н.Б.Копнину, В.З.Кресину, М.Ю.Куприянову, К.К.Лихареву, Ю.Н.Овчинникову за плодотворные дискуссии.

Литература

1. Л.П.Горьков, Н.Б.Копнин. ЖЭТФ, 60, 2331 /1971/.
2. М.Ю.Куприянов, К.К.Лихарев. Письма ЖЭТФ, 15, 349 /1972/.
3. Л.П.Горьков, Н.Б.Копнин. ЖЭТФ, 64, 360 /1973/.
4. Ю.Н.Овчинников. ЖЭТФ, 65, 290 /1973/.
5. Л.П.Горьков, Н.Б.Копнин. ЖЭТФ, 65, 396 /1973/.
6. C.Caroli, K.Maki. Phys.Rev., 159, 306 (1967).
K.Maki. Phys.Rev., 169, 381 (1968).
7. И.Н.Гончаров, И.С.Хухарева. Письма ЖЭТФ, 17, 85 /1973/.
8. Y.B.Kim, C.F.Heampstead, A.R.Strnad. Phys.Rev., 139, A1163 (1965),
Phys.Rev.Lett., 13, 794 (1964).
9. Н.Я.Фогель. ЖЭТФ, 63, 1371 /1972/.
10. N.Usui, T.Ogasawara, K.Yasukochi and S.Tomada. J.Phys.Soc.Japan,
27, 574 (1969); Phys.Lett., 27A, 529 (1968).
11. K.Noto, K.Mori, Y.Muto. Доклад на сов.-яп. совещании
по физике низких т-р, Новосибирск /1969/,
Physica, 55, 362 (1971).
12. А.И.Ларкин, Ю.Н.Овчинников. ЖЭТФ, 64, 1096 /1973/.
13. В.В.Данилов, М.Ю.Куприянов, К.К.Лихарев. ФТТ,
16, 935 /1974/.
14. John R.Clem. Phys.Rev.Lett., 20, 735 (1968).
15. Carl Y.Axt and W.C.H.Joiner. Phys.Rev.Lett., 21, 1168 (1968).
16. W.S.Chow. Phys.Rev., 188, 783 (1969); Phys.Rev., B1, 2130 (1970).
17. J.Gilchrist and R.Morseau. J.Phys.Chem.Solids, 32, 2101 (1971).
18. W.C.H.Joiner, J.Thompson. Solid State Comm., 11; 1393 (1972).
19. И.Н.Гончаров, И.С.Хухарева. ЖЭТФ, 62, 627 /1972/.
20. И.Н.Гончаров, Г.Л.Дорофеев, Л.В.Петрова, И.С.Хухарева. Препринт ОИЯИ, Р8-6260, Дубна, 1972.
21. N.S.Snyder. Cryogenics, 10, 89 (1970),
К.Н.Зиновьева. ЖЭТФ, 60, 2243 /1971/.
22. N.D.Reeber. J.Appl.Phys., 34, 481 (1963),
A.P.Dorey. Cryogenics, 5, 146 (1965),
И.Н.Гончаров и др. Препринт ОИЯИ, Р8-4558, Дубна,
1969.

23. И.Н.Гончаров, И.С.Хухарева. Препринт ОИЯИ, 8-7718, Дубна, 1974.
24. E.Helfand, N.R.Werthamer. *Phys.Rev.*, 147, 288 (1966).
25. А.Ф.Андреев, Ю.К.Джикаев. *ЖЭТФ*, 60, 298 /1971/.

Рукопись поступила в издательский отдел
13 июня 1974 года.